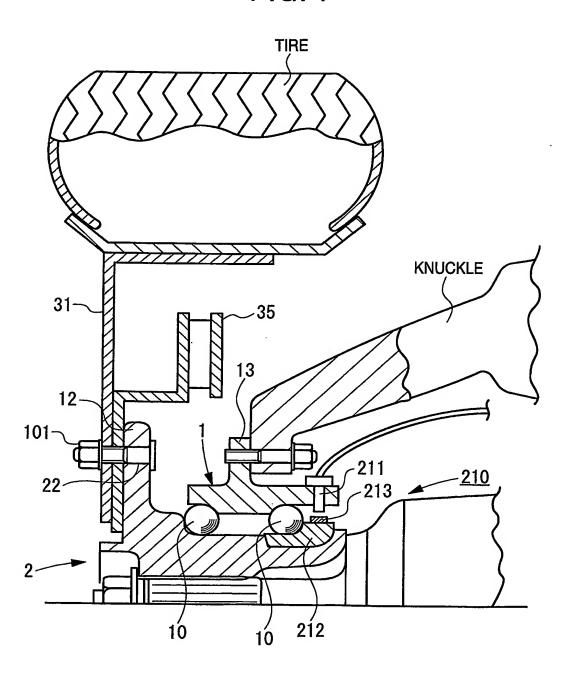
FIG. 1



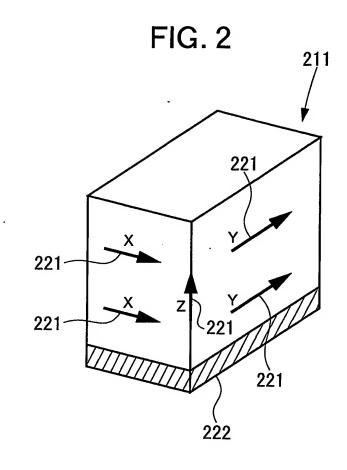
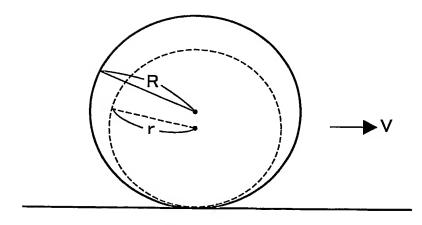
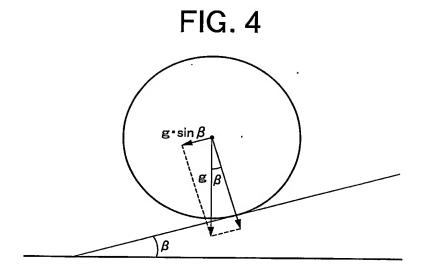
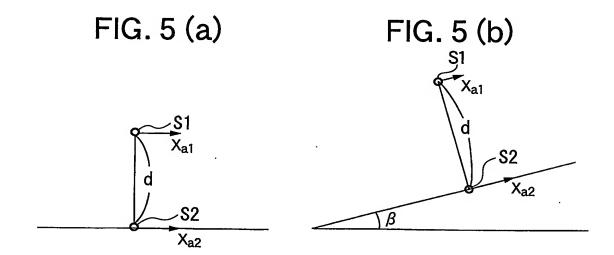
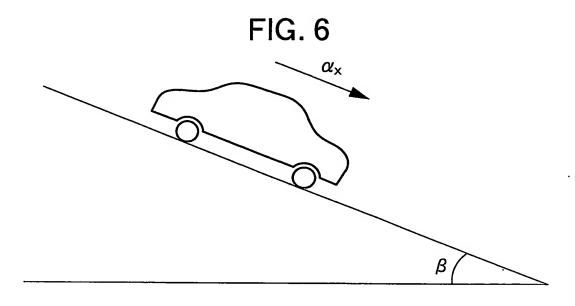


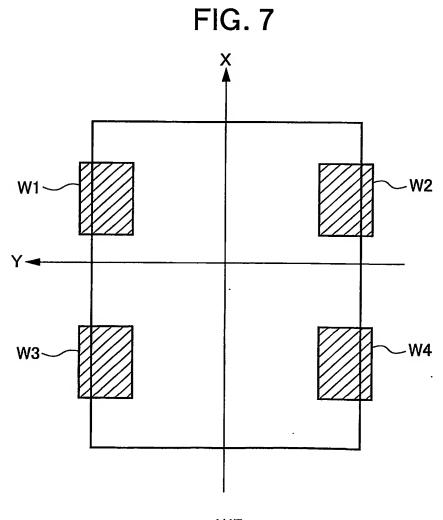
FIG. 3











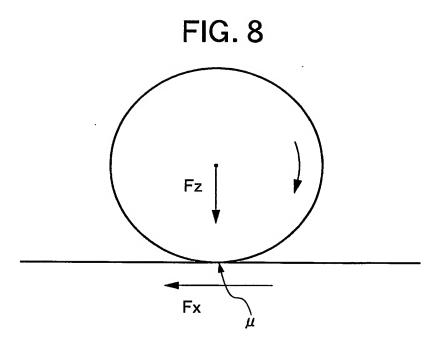
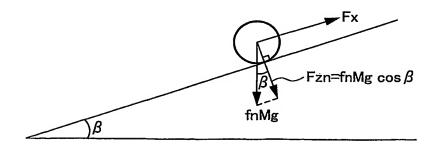
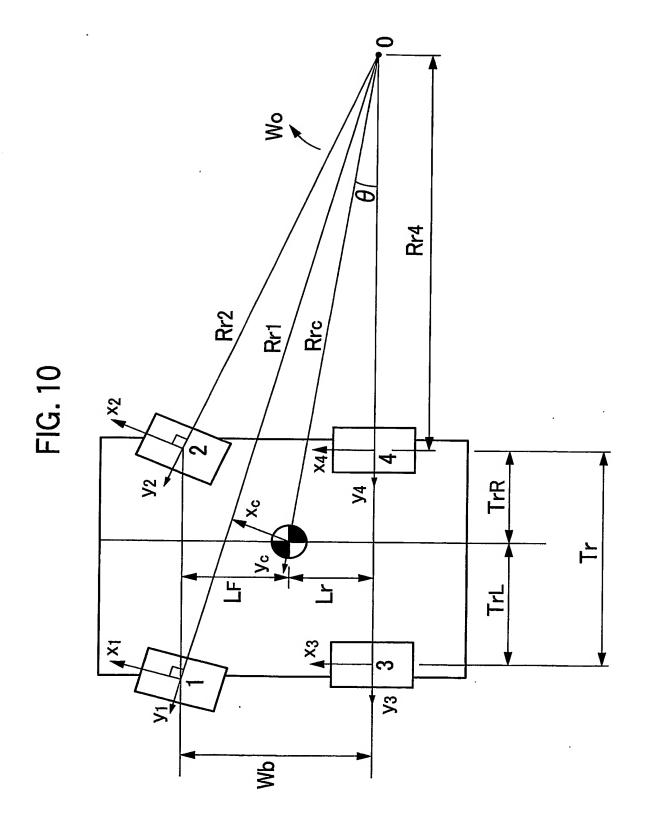


FIG. 9





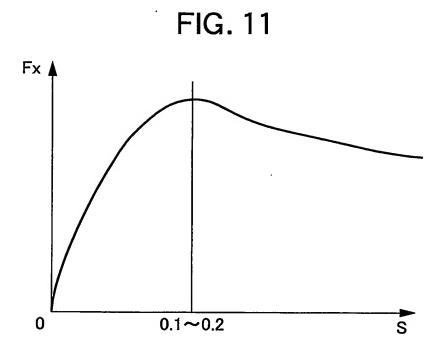


FIG. 12

FIG. 13

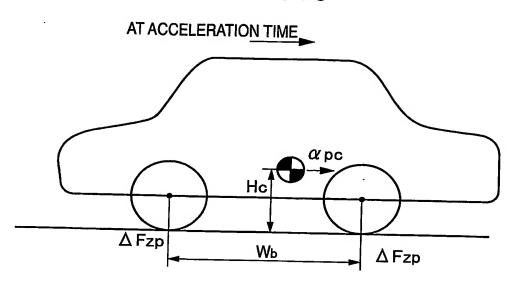


FIG. 14

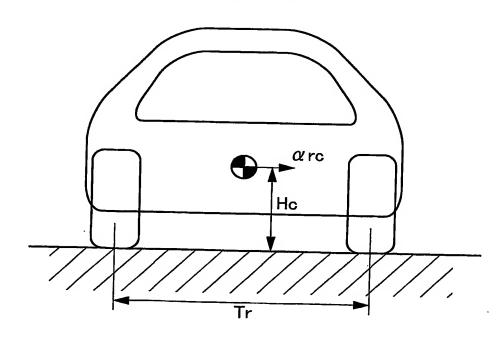


FIG. 15

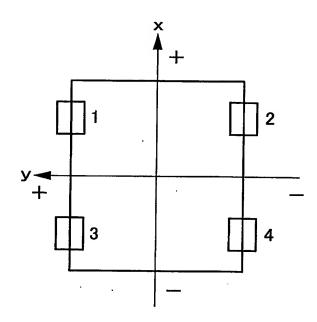
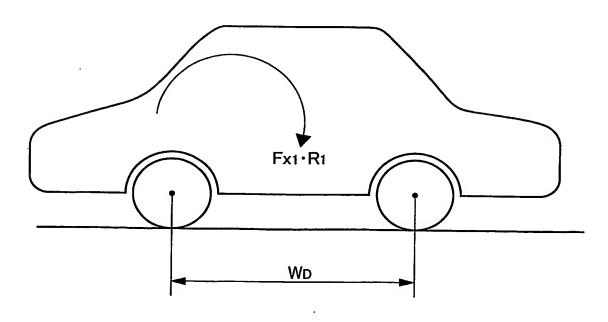


FIG. 16



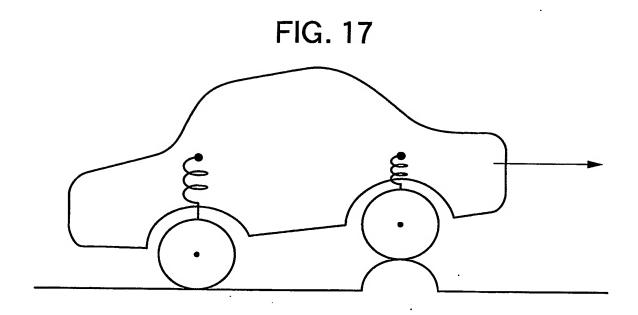


FIG. 18

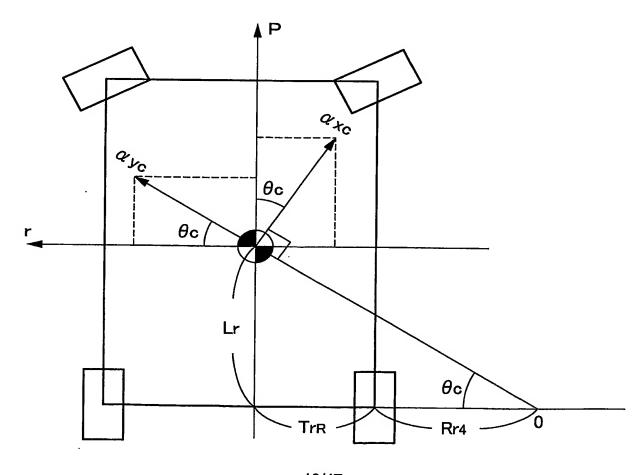
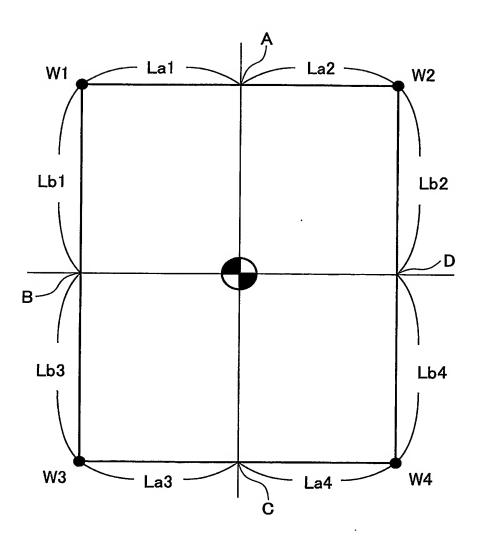


FIG. 19



WO 2004/045933

FIG. 20

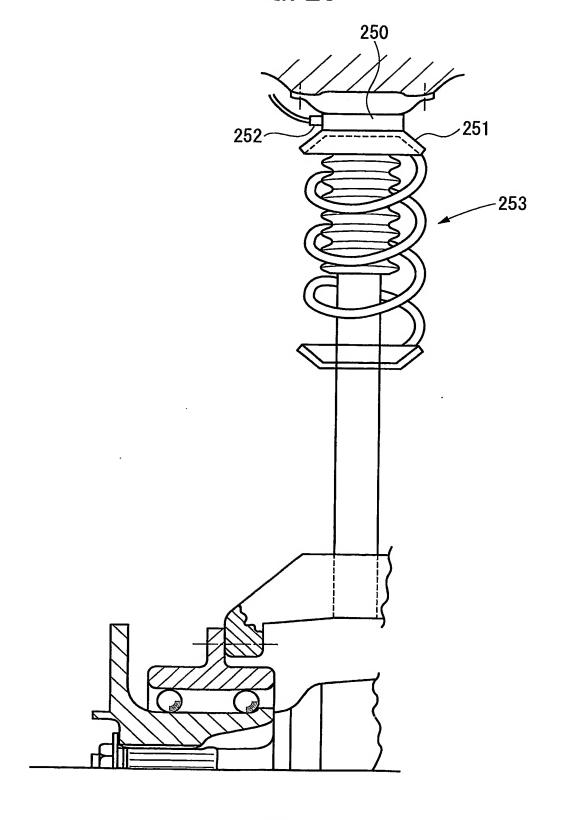


FIG. 21

250

FIG. 22

254

251

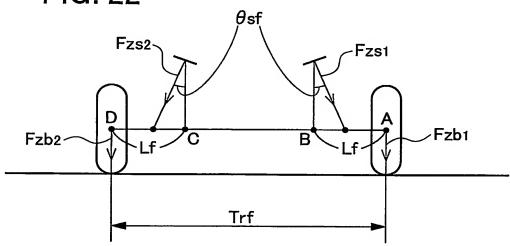
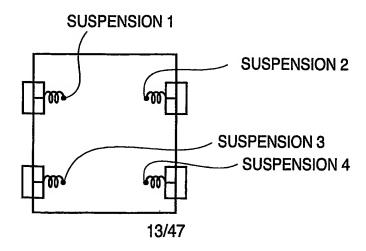
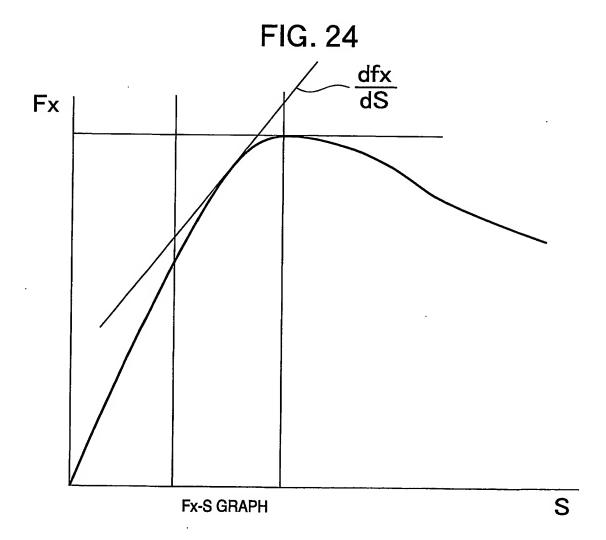


FIG. 23





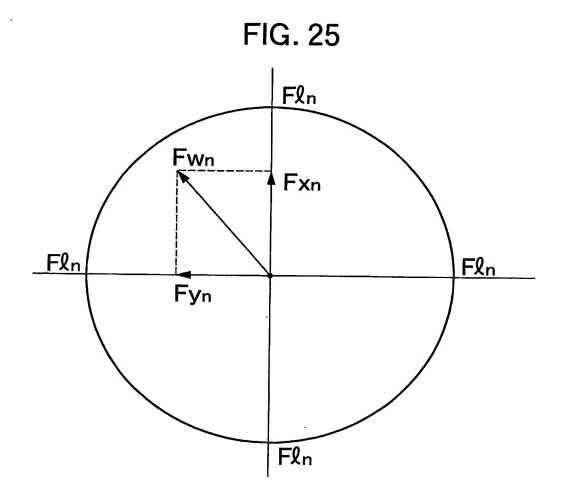


FIG. 26

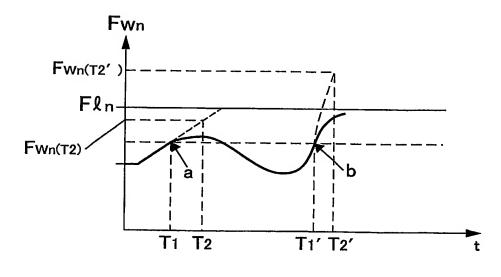
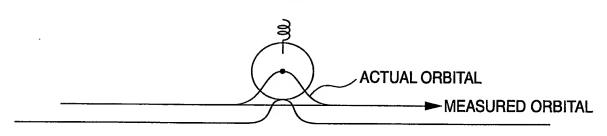


FIG. 27



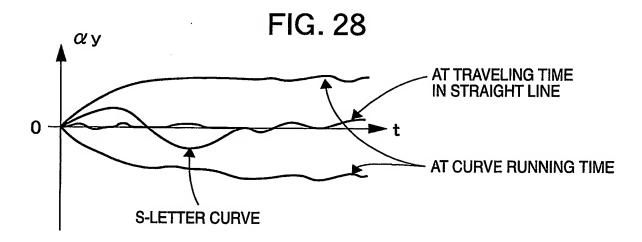


FIG. 29

AT CURVE RUNNING TIME
IN STRAIGHT LINE

FIG. 30

OFFSET AMOUNT (mm)	0	50	100		150	200	250
ERROR AT TURNING TIME	©	0 0	0	0	Δ	Δ	×

FIG. 31

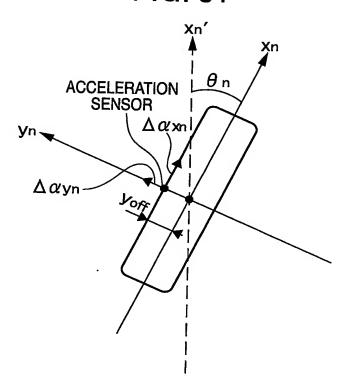


FIG. 32

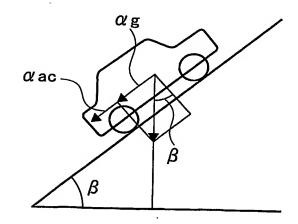


FIG. 33

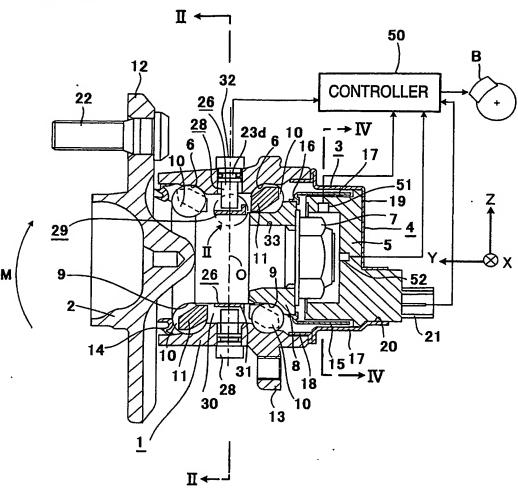
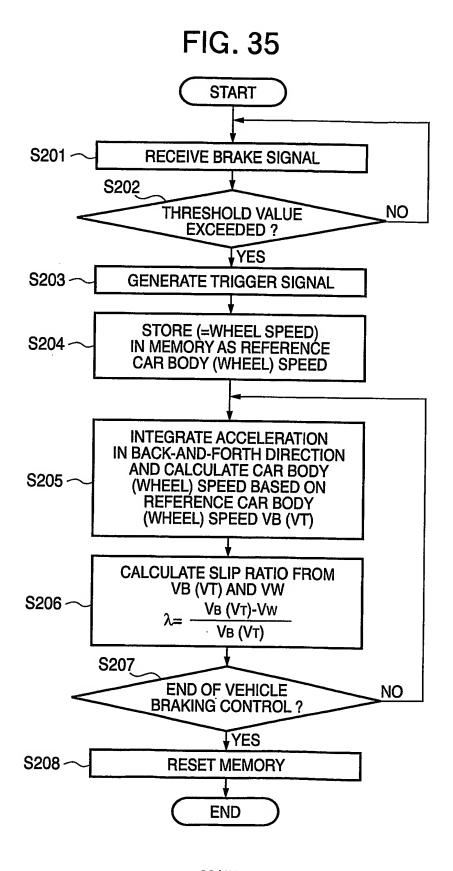


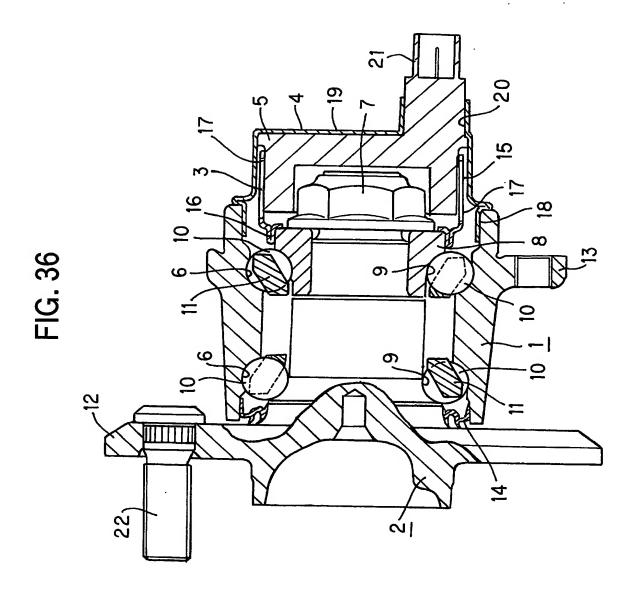
FIG. 34

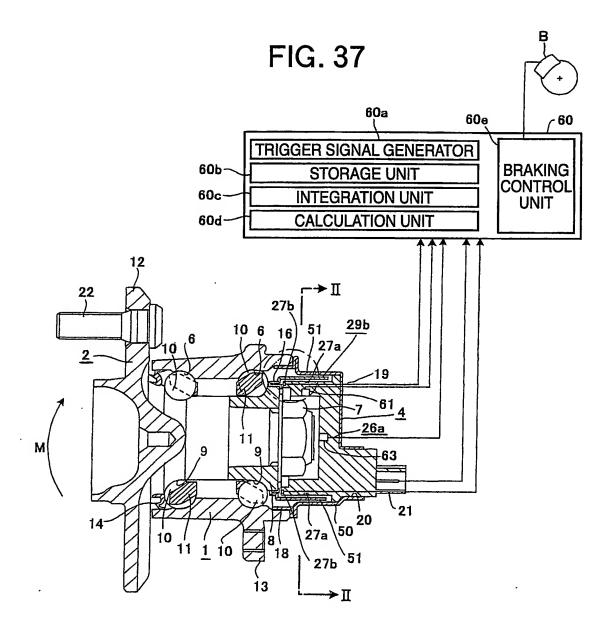
51

53

19/47







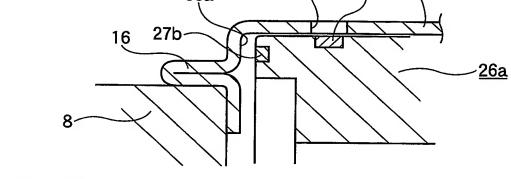
26a



62

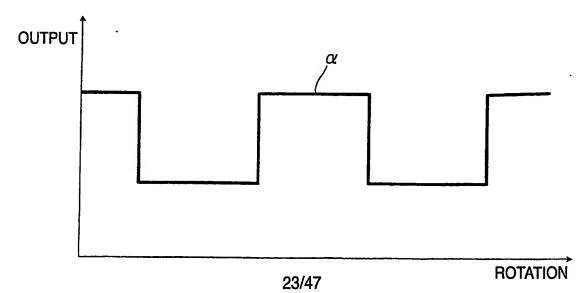
FIG. 39

50a



27a

FIG. 40



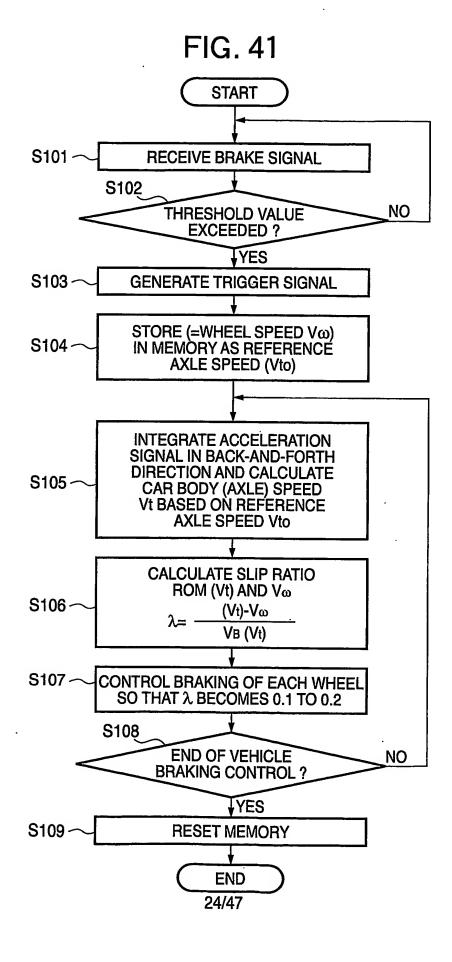


FIG. 42

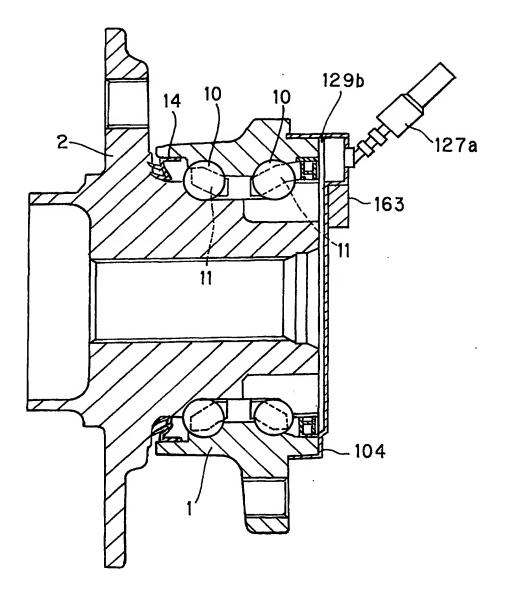


FIG. 43

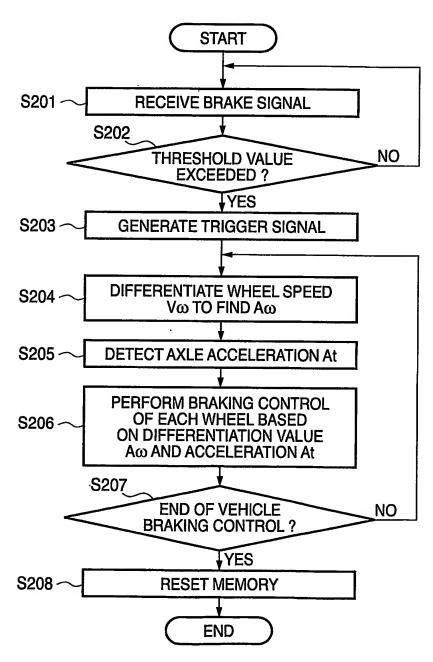


FIG. 44

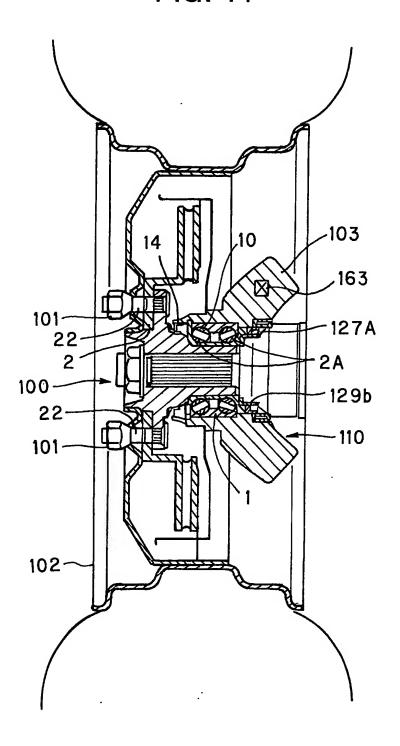


FIG. 45

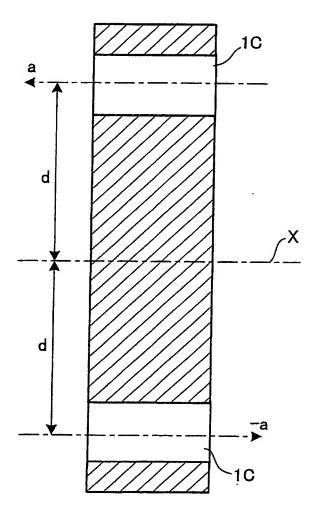


FIG. 46

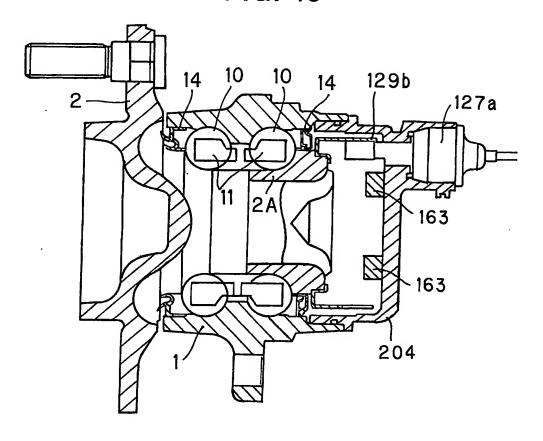


FIG. 47

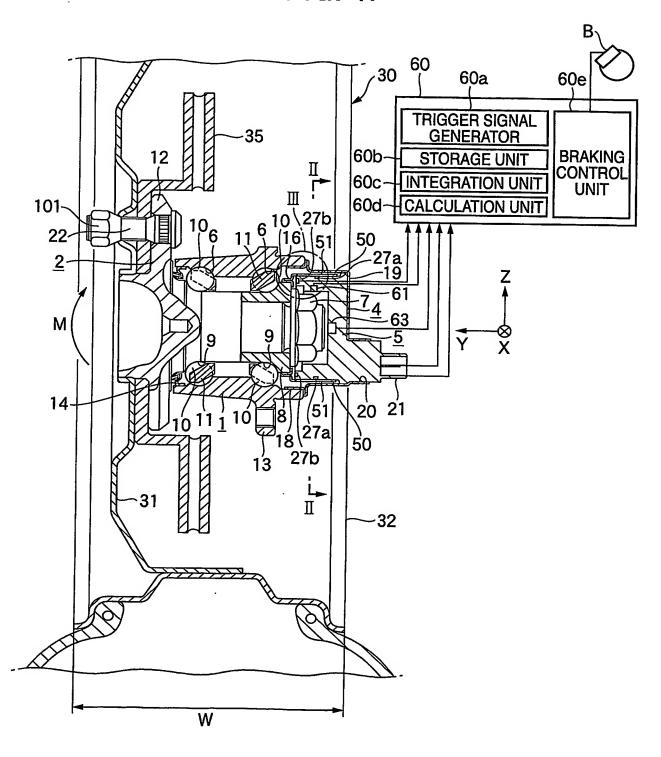


FIG. 48

61

62

63

FIG. 49

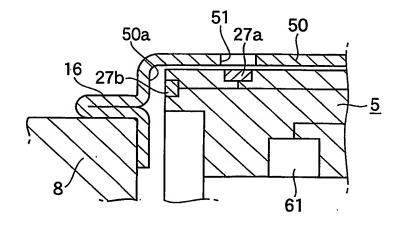


FIG. 50 129b 10 1,0 127a 2--163 11 11 -104 **∕30** W --- 32

FIG. 51

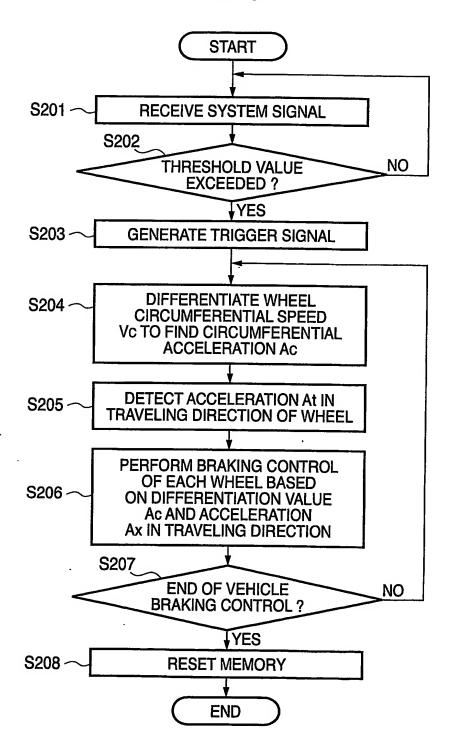


FIG. 52

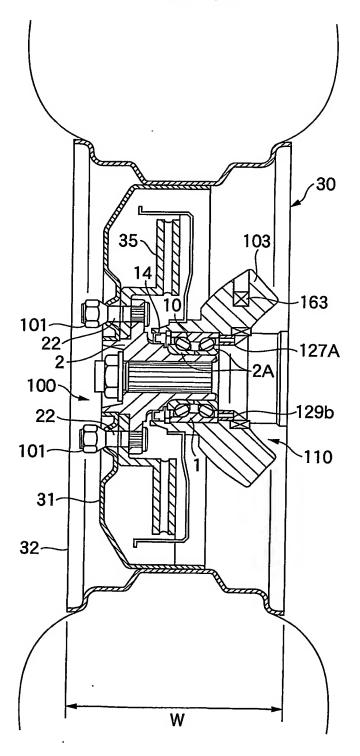


FIG. 53

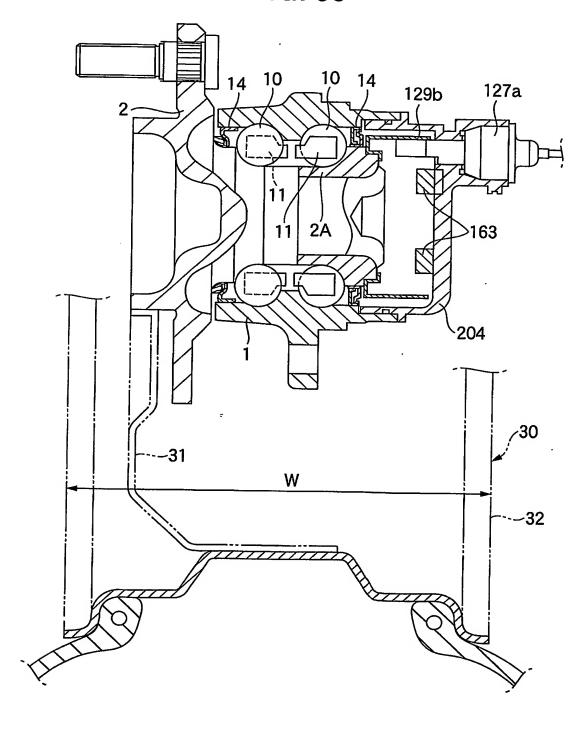


FIG. 54

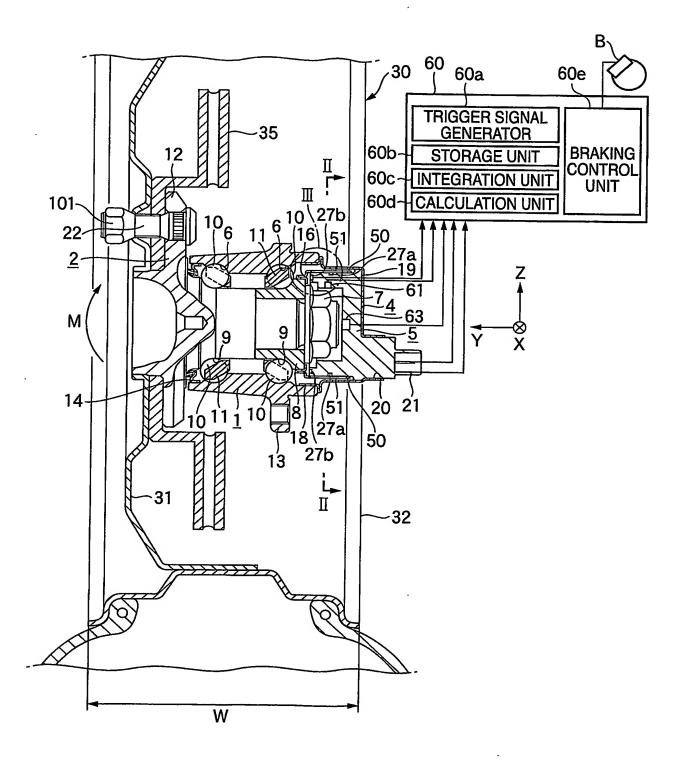


FIG. 55

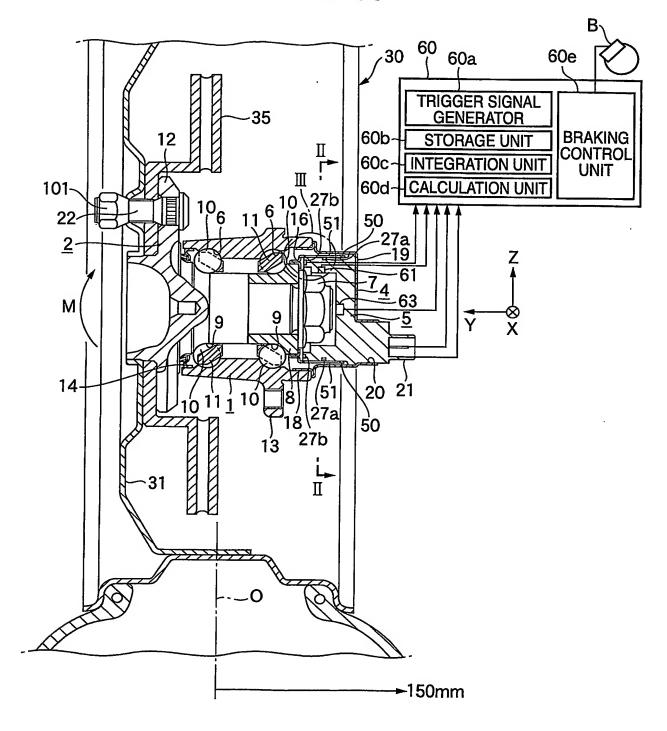


FIG. 56

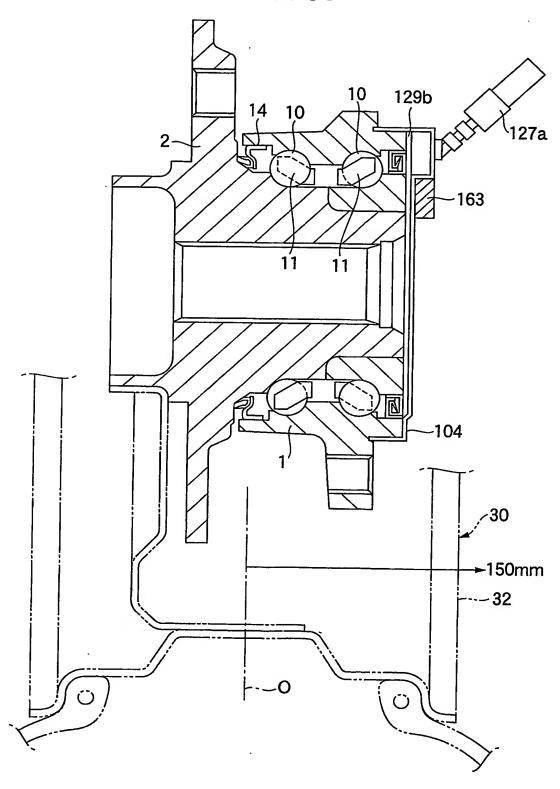


FIG. 57 103 -163 101-22 -127A 2A 100 -129b 22-101-**~110** 31-32-**→**150mm

FIG. 58

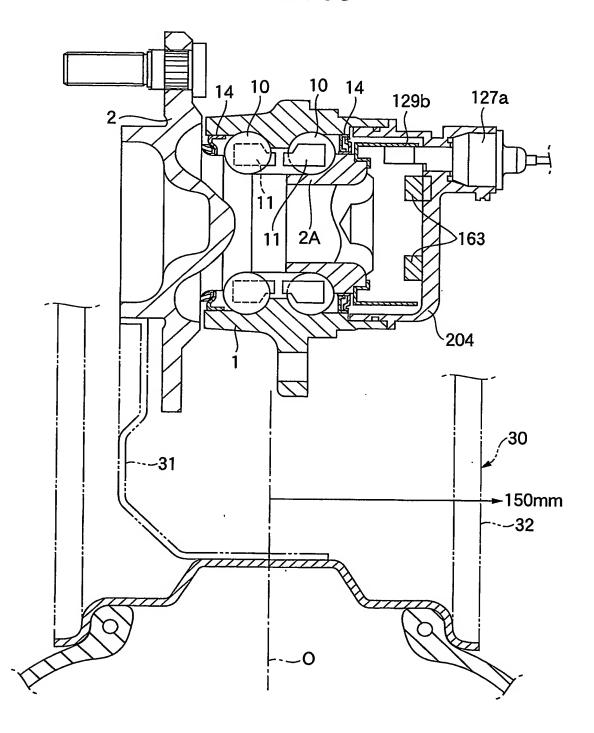


FIG. 59

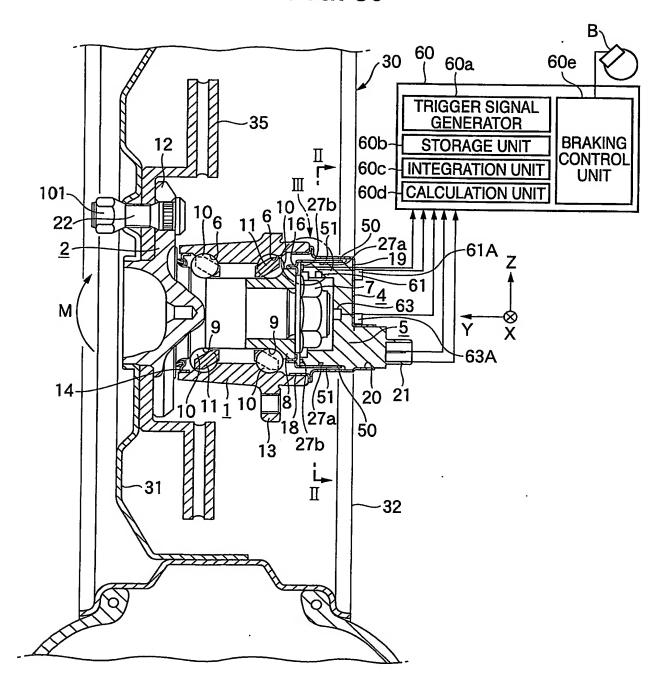


FIG. 60

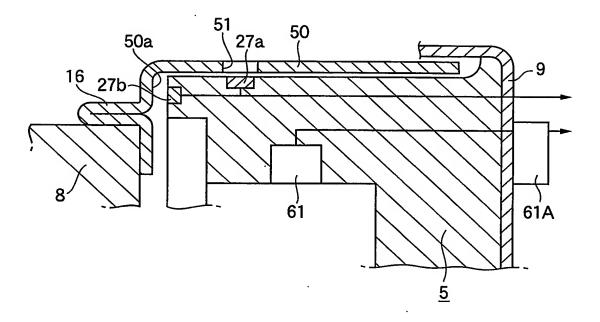


FIG. 61

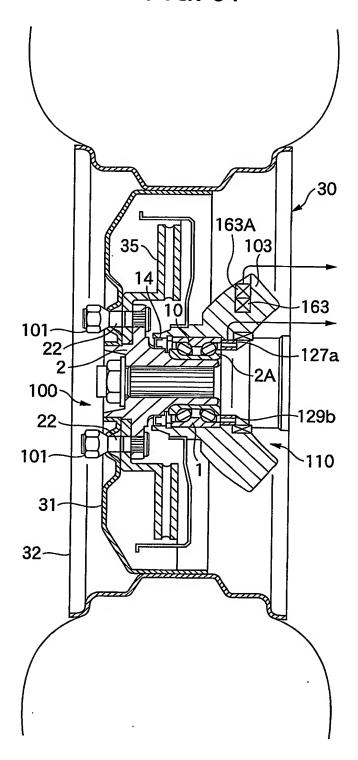


FIG. 62

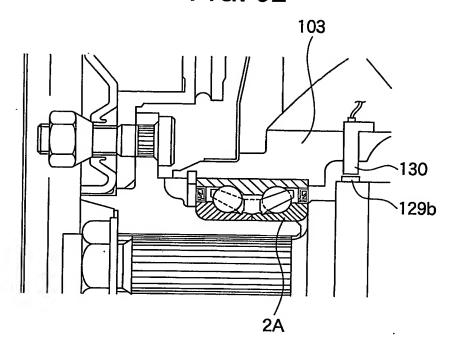
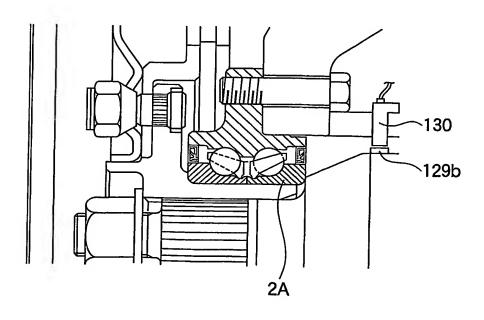


FIG. 63



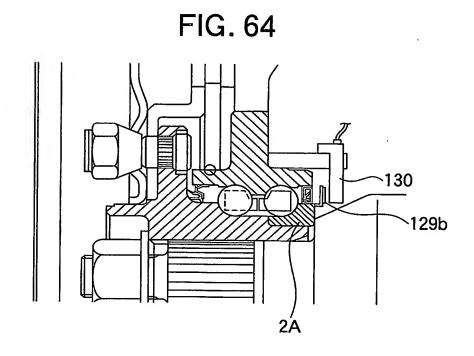


FIG. 65

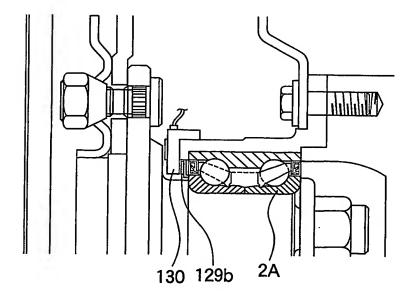


FIG. 66

FIG. 67

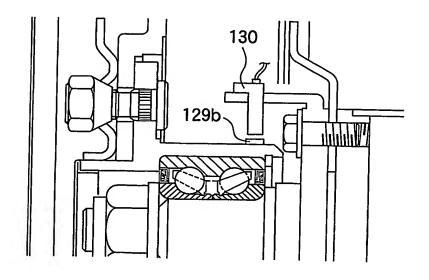


FIG. 68

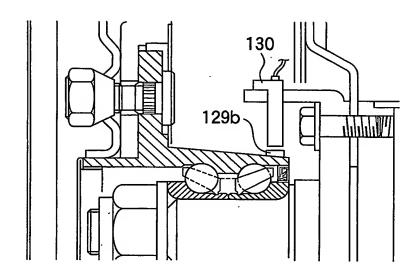


FIG. 69

